

Dans ce qui suit,  $m, n \in \mathbb{N}^*$ ,  $\mathbb{K} = \mathbb{R}$  ou  $\mathbb{C}$ , et  $E$  est un  $\mathbb{K}$ -espace vectoriel.

## I - DÉCOMPOSITIONS EN LIEN AVEC LA RÉDUCTION D'ENDOMORPHISMES

### a) Décomposition de Dunford

[MM] Prop 1 : [lemme des noyaux]

Soit  $P = P_1 \dots P_s \in \mathbb{K}[X]$ , les  $P_i$  étant deux à deux premiers entre eux.

Suit  $u \in \mathcal{L}(E)$ . Alors  $\text{Ker}(P)(u) = \bigoplus_{i=1}^s \text{Ker } P_i(u)$ . De plus, pour tout  $i$ , le projecteur de  $\text{Ker}(P)(u)$  sur  $\text{Ker } P_i(u)$  parallèlement à  $\bigoplus_{j \neq i} \text{Ker } P_j(u)$  est un polynôme en  $u$ .

[G] Thm 2 : [décomposition de Dunford]

Soit  $M \in \mathbb{M}_n(\mathbb{K})$  tel que le polynôme caractéristique  $\det(X\mathbb{I}_d - M)$  est scindé sur  $\mathbb{K}$ . Alors il existe un unique couple de matrices  $(D, N) \in \mathbb{M}_n(\mathbb{K})^2$  tels que :

- $M = D + N$  ;      •  $D$  est diagonalisable ;
- $DN = ND$  ;      •  $N$  est nilpotente.

De plus,  $D$  et  $N$  sont des polynômes en  $M$ .

[MM] Exemple 3 : .  $\begin{bmatrix} 1 & 0 & 0 & 0 \\ 0 & 2 & 1 & 0 \\ 0 & 0 & 2 & 1 \\ 0 & 0 & 0 & 2 \end{bmatrix} = \begin{bmatrix} 1 & 0 & 0 & 0 \\ 0 & 2 & 0 & 0 \\ 0 & 0 & 2 & 0 \\ 0 & 0 & 0 & 2 \end{bmatrix} + \begin{bmatrix} 0 & 0 & 0 & 0 \\ 0 & 0 & 1 & 0 \\ 0 & 0 & 0 & 1 \\ 0 & 0 & 0 & 0 \end{bmatrix}$  et la décomposition de Dunford de  $\begin{pmatrix} 1 & 0 & 0 & 0 \\ 0 & 2 & 1 & 0 \\ 0 & 0 & 2 & 1 \\ 0 & 0 & 0 & 2 \end{pmatrix}$ .

•  $\begin{bmatrix} 1 & 1 \\ 0 & 2 \end{bmatrix} = \begin{bmatrix} 1 & 0 \\ 0 & 2 \end{bmatrix} + \begin{bmatrix} 0 & 1 \\ 0 & 0 \end{bmatrix}$  n'est pas la décomposition de Dunford de  $\begin{pmatrix} 1 & 1 \\ 0 & 2 \end{pmatrix}$ .

[G] Rém 4 : • Sur  $\mathbb{C}$ , tout polynôme non nul est scindé, et il existe ainsi toujours une décomposition de Dunford.

• Sur  $\mathbb{R}$ , on peut effectuer une décomposition de Dunford sur  $M$  une dans  $\mathbb{M}_n(\mathbb{C})$ : on obtient  $(D, N) \in \mathbb{M}_n(\mathbb{R})^2$ , mais  $D$  diagonalisable sur  $\mathbb{C}$ .

[G] Rém 5 : L'application qui à  $M \in \mathbb{M}_n(\mathbb{K})$  associe  $D$  ou  $N$  de sa décomposition de Dunford n'est pas continue.

[CC] Algo 6 : Soit  $M \in \mathbb{M}_n(\mathbb{K})$ , de polynôme caractéristique  $X_M$  et de décomposition de Dunford  $M = D + N$ . On pose  $P := \frac{X_M}{X_M - X_N} = \prod_{i \in S(M)} (X - \lambda_i)$ .

La suite de matrices  $(A_r)_{r \in \mathbb{N}}$  donnée par :

$$\begin{cases} A_0 = A \\ A_{r+1} = A_r - P(A_r) P'(A_r)^{-1} \quad \text{pour } r \geq 0 \end{cases}$$

est bien définie, stationnaire et tend vers  $D$ .

Cet algorithme a une complexité en  $O(n^2 \log(n))$ .

Application 7 : On note  $\exp(M) = \sum_{k=0}^{\infty} \frac{M^k}{k!}$  l'exponentielle de  $M \in \mathbb{M}_n(\mathbb{K})$ .

Comme  $D$  et  $N$  commutent, la décomposition de Dunford de  $M$  donne :

$$\exp(M) = \exp(D) \exp(N) = \exp(N) \exp(D)$$

La décomposition de Dunford de  $\exp(M)$  est alors

$$\exp(M) = \exp(D) + \exp(D) (\exp(N) - I_n).$$

Corollaire 8 : Soit  $M \in \mathbb{M}_n(\mathbb{K})$  dont le polynôme caractéristique est scindé sur  $\mathbb{K}$ . [LR] Alors  $M$  est diagonalisable si et seulement si  $\exp(M)$  est diagonalisable.

Application 9 : Soit  $M \in \mathbb{C}\mathbb{L}_n(\mathbb{C})$ . Il existe  $P \in \mathbb{C}[X]$  tel que  $M = \exp(P(M))$ . [MMJ]

Application 10 :  $\exp(\mathbb{M}_n(\mathbb{C})) = \mathbb{C}\mathbb{L}_n(\mathbb{C})$  ;  $\exp(\mathbb{M}_n(\mathbb{R})) = \{R^2 \mid R \in \mathbb{C}\mathbb{L}_n(\mathbb{R})\}$  [MMJ]

Application 11 : Résolution de systèmes différentiels linéaires du premier ordre  $y'(t) = A \cdot y(t)$ . [MMJ]

b) Décomposition de Jordan des matrices nilpotentes

Lemme 12 : Soit  $u \in \mathcal{L}(E)$ . La suite des noyaux itérés  $(\text{Ker } u^{(k)})_{k \in \mathbb{N}}$  est strictement croissante pour l'inclusion puis stationnaire, et s'essouffle dans le sens où  $(\dim \text{Ker } u^{(k+1)} - \dim \text{Ker } u^{(k)})$  est décroissante. [MMJ]

Def 13 : Une partition de  $n$  est une suite d'entiers naturels  $(l_j)_{j \geq 1}$  décroissante, nulle à partir d'un certain rang  $m+1$ , et dont la somme des termes vaut  $n$ . [GJ]

<p>[MM] <u>Def 14</u>: Le bloc de Jordan de taille <math>m \geq 1</math>. <math>J_m</math> est la matrice de <math>M_m(\mathbb{K})</math> dont les coefficients sont nuls sauf sur la 1<sup>e</sup> surdiagonale où ils valent 1. <u>ANNEXE</u></p> <ul style="list-style-type: none"> <li>À une partition <math>\lambda = (\lambda_1, \dots, \lambda_m)</math>, on associe la matrice de Jordan <math>J_\lambda</math> diagonale par blocs de blocs <math>J_{\lambda_1}, \dots, J_{\lambda_m}</math>.</li> </ul>	<p>[MM] <u>O</u> Une application: le critère de diagonalisabilité de Klarér</p> <p><u>Def 21</u>: Soit <math>A \in M_n(\mathbb{K})</math>. On définit l'adjoint de <math>A</math> par <math>ad_A : M \mapsto AM - MA</math>.</p> <p><u>Lemme 22</u>: Si <math>A</math> est diagonalisable (resp. nilpotent), alors <math>ad_A</math> est diagonalisable (resp. nilpotent).</p> <p><u>Prop 23</u>: Soit <math>A \in M_n(\mathbb{C})</math> telle que <math>ad_A</math> est diagonalisable. Alors <math>A</math> est diagonalisable.</p>
<p>[CG] <u>Thm 15</u>: [décomposition de Jordan, cas nilpotent]</p> <p>Soit <math>M \in M_n(\mathbb{K})</math> nilpotente. Alors, il existe une <u>unique</u> partition <math>\lambda</math> de <math>n</math> telle que <math>M</math> soit semblable à la matrice <math>J_\lambda</math>.</p>	<p>[CG] <u>Thm 24</u>: Soit <math>u</math> un endomorphisme d'un <math>\mathbb{C}</math>-espace vectoriel <math>E</math>.  <math>u</math> est diagonalisable si et seulement si <math>\text{Ker } ad_u = \text{Ker } ad_{u^2}</math>.</p>
<p>[EMP] <u>Exemple 16</u>: <math>\begin{bmatrix} 0 &amp; 1 &amp; 0 &amp; 0 \\ 0 &amp; 0 &amp; 1 &amp; 0 \\ 0 &amp; 0 &amp; 0 &amp; 0 \\ 0 &amp; 0 &amp; 0 &amp; 0 \\ 0 &amp; 0 &amp; 0 &amp; 0 \end{bmatrix}</math> et <math>\begin{bmatrix} 0 &amp; 1 &amp; 0 &amp; 0 \\ 0 &amp; 0 &amp; 0 &amp; 0 \end{bmatrix}</math> ne sont pas semblables, bien que de même rang.</p> <p>On peut lire les classes de similitude de matrices nilpotentes à l'aide des tableaux de Young.</p>	<p>[CG] <u>II - DIVISER POUR RÉSOLER: LA DÉCOMPOSITION POLAIRE</u></p> <p><u>Thm 25</u>: [décomposition polaire sur <math>\mathbb{R}</math>]</p> <p>Soit <math>M \in M_n(\mathbb{R})</math>. Il existe <math>(U, S) \in O_n(\mathbb{R}) \times S_n^+(\mathbb{R})</math> tel que <math>M = US</math>.</p> <p>De plus, si <math>M</math> est inversible, le couple <math>(U, S)</math> est <u>unique</u>, et l'application</p> $\begin{cases} O_n(\mathbb{R}) \times S_n^{++}(\mathbb{R}) &\rightarrow GL_n(\mathbb{R}) \\ (U, S) &\mapsto US \end{cases}$ est un homéomorphisme.
<p>[MM] <u>Def 19</u>: Le tableau de Young associé à la partition <math>\lambda = (\lambda_1, \dots, \lambda_r)</math> est un tableau à <math>r</math> lignes, dont la <math>i^e</math> ligne comporte <math>\lambda_i</math> colonnes, noté <math>TY(\lambda)</math>.</p> <p>Le tableau de Young conjugué à <math>\lambda = (\lambda_1, \dots, \lambda_r)</math> est un tableau à <math>r</math> colonnes, dont la <math>i^e</math> colonne comporte <math>\lambda_i</math> lignes, noté <math>TY^*(\lambda)</math>.</p> <p>Le tableau de Young associé à une matrice nilpotente <math>M \sim J_\lambda</math> est le tableau de Young associé à la partition <math>\lambda</math>, ou de manière équivalente <math>TY^*(\mu)</math>, où <math>\mu</math> est la suite des valeurs de <math>(\dim \text{Ker } M^{k+1} - \dim \text{Ker } M^k)_{k \in \mathbb{N}}</math>.</p>	<p>[CG] <u>Corollaire 26</u>: Pour toute matrice <math>A \in GL_n(\mathbb{R})</math> on a <math>\ A\ _F = \sqrt{\rho(A^* A)}</math>, où <math>\rho</math> désigne le rayon spectral.</p> <p><u>Corollaire 27</u>: <math>O_n(\mathbb{R})</math> est un sous-groupe compact maximal dans <math>GL_n(\mathbb{R})</math>.</p> <p><u>Thm 28</u>: [Décomposition polaire sur <math>\mathbb{C}</math>]</p> <p>Soit <math>M \in M_n(\mathbb{C})</math>. Il existe <math>(U, H)</math> avec <math>U</math> unitaire et <math>H</math> hermitienne positive telle que <math>M = UH</math>. De plus, si <math>M</math> est inversible, le couple <math>(U, H)</math> est <u>unique</u>, et l'application</p> $\begin{cases} O_n(\mathbb{C}) \times S_n^{++}(\mathbb{C}) &\rightarrow GL_n(\mathbb{C}) \\ (U, H) &\mapsto UH \end{cases}$ est un homéomorphisme.
<p>[MM] <u>Exemple 18</u>: En <u>ANNEXE</u> est présenté le tableau de Young d'une matrice nilpotente d'indice de nilpotence maximale. Est aussi représenté le tableau de Young d'une matrice <math>M \in M_{12}(\mathbb{R})</math> vérifiant <math>(\dim \text{Ker } M^k)_k = (7, 12, 14, 16, 17)</math>.</p> <p><u>Réu 19</u>: Deux matrices nilpotentes sont semblables si et seulement si elles admettent même tableau de Young.</p> <p><u>Application 20</u>: On peut ainsi lire les dimensions des noyaux et images de <math>M^k</math> pour tout <math>k \leq n</math>.</p>	<p>[CG] <u>Exemple 29</u>: Pour <math>n=1</math>, on retrouve l'écriture <math>z = r e^{i\theta}</math>, unique pour tout <math>z \in \mathbb{C} \setminus \{0\}</math>.</p> <p><u>Application 30</u>: <math>GL_n(\mathbb{R})</math> est homéomorphe à <math>O_n(\mathbb{R}) \times \mathbb{R}^{\frac{n(n+1)}{2}}</math>.</p>

DEV 1

DEV 2

ANNEXE

### III - DÉCOMPOSITIONS LIÉES À LA RÉSOLUTION DE SYSTÈMES LINÉAIRES

#### a) Décomposition LU

[CP] Ici,  $\mathbb{K}$  désigne un corps commutatif, même fini.

Thm 31: Soit  $M \in GL_n(\mathbb{K})$ . Alors il existe  $P$  matrice de permutation,  $L$  matrice triangulaire inférieure unipotente et  $U$  matrice triangulaire supérieure telle que  $M = PLU$ .

Si les mineurs principaux de  $M$  sont tous non nuls, alors  $P = I_n$ , et la décomposition  $M = LU$  est unique.

Rem 32: La décomposition LU s'obtient simplement par la méthode du pivot de Gauss. Ainsi, la décomposition LU d'une matrice de taille  $n \times n$  s'obtient en  $O(n^3)$  opérations.

Application 33: Soit  $A \in GL_n(\mathbb{K})$  admettant une décomposition  $(U, \text{ et } B \in \mathbb{K}^n)$ . Le système linéaire  $AX=B$  équivaut à  $LUX=B$ . Si on connaît la décomposition LU de  $A$ , on peut résoudre  $LY=B$  puis  $UX=Y$  rapidement par méthode de remontée.

Corollaire 34: Le calcul du déterminant, de l'inverse de  $A$  ou d'une solution de  $AX=B$  s'effectuant en  $O(n^3)$  opérations sur  $\mathbb{K}$ .

Application 35: Sur  $M_n(\mathbb{F}_q)$ , il y a  $(q-1)^n q^{n(n-1)}$  matrices dont les mineurs principaux sont tous non nuls.

#### b) Décomposition QR

Thm 36: Soit  $M \in GL_n(\mathbb{R})$ . Il existe un unique couple  $(Q, R)$ , avec  $Q \in O_n(\mathbb{R})$  et  $R$  matrice triangulaire supérieure à coefficients diagonaux strictement positifs tels que  $M = QR$ .

Rem 37: La décomposition QR peut s'obtenir avec la méthode d'orthonormalisation de Gram-Schmidt, appliquée à la famille de colonnes de  $M$ .

Application 38: Le système linéaire  $AX=B$  équivaut à  $QRX=B$ , i.e.  $RX=Q^T B$ , ce qui donne un système échelonné.

La décomposition QR permet, sous certaines hypothèses, d'approcher les valeurs propres d'une matrice.

#### Algorithm 39: [méthode QR]

On pose  $A_0 = A$ ,  $A_k = Q_k R_k$  par la décomposition QR, et on définit par récurrence  $A_{k+1} = R_k Q_k$ .

Thm 40: Soit  $A \in GL_n(\mathbb{R})$  dont les valeurs propres sont de module tous distincts.

On écrit  $A = PDP^{-1}$  avec  $D = \text{diag}(i_1, \dots, i_n)$  où  $|i_1| > \dots > |i_n| > 0$ .

On suppose que  $P^{-1}$  admette une décomposition LU.

Alors  $\lim_{k \rightarrow +\infty} (A_k)_{ii} = i_i$ ,  $\lim_{k \rightarrow +\infty} (A_k)_{ij} = 0 \quad \forall j < i$ .

#### c) Décomposition d'Hermite

Prop 41: Soit  $\begin{pmatrix} a_1 \\ \vdots \\ a_n \end{pmatrix}$  un vecteur de  $\mathbb{Z}^n$ ,  $d = \text{pgcd}(a_1, \dots, a_n)$ . Il existe  $M \in GL_n(\mathbb{Z})$  tel que  $M \begin{pmatrix} a_1 \\ \vdots \\ a_n \end{pmatrix} = \begin{pmatrix} d \\ 0 \\ \vdots \\ 0 \end{pmatrix}$ .

Thm 42: Soit  $A \in M_{m,n}(\mathbb{Z})$ . Il existe  $L \in GL_n(\mathbb{Z})$  telle que  $LA$  soit échelonnée sur les lignes.

Thm 43: Soit  $A \in M_{m,n}(\mathbb{Z})$ . Il existe une unique matrice échelonnée réduite  $H$  de  $M_{m,n}(\mathbb{Z})$ , et  $G \in GL_n(\mathbb{Z})$  telle que  $A = GH$ . La matrice  $H$  s'appelle la forme normale d'Hermite de  $A$ .

Remarque 44: C'est pas unique.

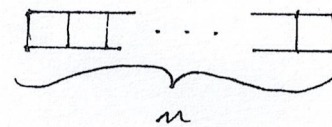
Application 45: Résolution de systèmes diophantiens linéaires.

ANNEXE 1 : définition 14

$$J_1 = [0] \quad J_2 = \begin{bmatrix} 0 & 1 \\ 0 & 0 \end{bmatrix} \quad J_3 = \begin{bmatrix} 0 & 1 & 0 \\ 0 & 0 & 1 \\ 0 & 0 & 0 \end{bmatrix}$$

$$J_m = \begin{bmatrix} 0 & 1 & 0 & \cdots & 0 \\ | & \diagdown & | & \cdots & | \\ 0 & 0 & 1 & \cdots & 0 \\ | & \diagup & | & \cdots & | \\ 0 & & 0 & \cdots & 0 \end{bmatrix}$$

$J_m$ :



$M$ :

✗	✗	✗	✗
✗	✗	✗	
✗	•		
✗	•		
✗	•		
•			
•			

- :  $\text{Ker}(M^2)$
- x:  $\text{Im}(M)$
- ✗:  $\text{Ker}(M^3) \cap \text{Im}(M)$

Figure 2: Tableaux de Young de nilpotents

Références :

- \* [C] P. CIARLET, Introduction à l'analyse numérique matricielle et à l'optimisation, Dunod.
- \* [CP] P. CALDÉRU, M. PERONNIER, Carnet de voyage en Algèbre, Calvage & Moutet
- \* [CG] P. CALDÉRU, J. GERMONI, Nouvelles histoires hédonistes de groupes et de géométrie, Tome premier, Calvage & Moutet
- [BMP] V. BELK, J. MALICK, G. PEYRÉ, Objectif Agrégation, 2<sup>e</sup> édition, M & K.
- [Cohen] N. COHEN, A Course in Computational Algebraic Number Theory, Springer.
- [CdL] A. CASAMAYOU, N. COHEN, G. CONNAN, T. DUMONT, F. MALTEY, M. MEUILLEN, M. MEZZAROBBA, C. PERNET, N.M. THIÉRY, P. ZIMERMANN, Calcul mathématique avec SAGE, auto-édité.
- [G] T. COURDON, Les maths en tête, Algèbre, Ellipses.
- \* [MM] R. MANJUY, R. MNEIMNÉ, Algèbre linéaire - Réduction des endomorphismes, 3<sup>e</sup> édition, Debaché Supérieur.
- [NQ] P. NAUDIN, C. QUITTE, Algorithmique algébrique, Masson.
- [R] J.E. ROMBALDI, Mathématiques pour l'agregation - Algèbre et géométrie, Debaché supérieur.